

Квантовый алгоритм линейной фильтрации

Гоголева Елена Владимировна, гр. 622

Санкт-Петербургский государственный университет
Прикладная математика и информатика
Математическое моделирование, программирование и
искусственный интеллект

Научный руководитель: к. ф.-м. н. М. С. Ананьевский
Рецензент: д.т.н. И. Б. Фуртат



Санкт-Петербург, 2022.

Постановка задачи

$I \in \mathbb{R}^{N \times N}$ — изображение размером $N \times N$ ($2^n \times 2^n$):

$$I = \begin{bmatrix} i_{0,0} & i_{0,1} & \dots & i_{0,N-1} \\ i_{1,0} & i_{1,1} & \dots & i_{1,N-1} \\ \vdots & \vdots & \ddots & \vdots \\ i_{N-1,0} & i_{N-1,1} & \dots & i_{N-1,N-1} \end{bmatrix}$$

$W \in \mathbb{R}^{3 \times 3}$ — маска фильтра:

$$W = \frac{1}{16} \begin{bmatrix} 1 & 2 & 1 \\ 2 & 4 & 2 \\ 1 & 2 & 1 \end{bmatrix}$$

$$W * i_{x,y} = \sum_{i=-1}^1 \sum_{j=-1}^1 w_{1+i,1+j} i_{x+i,y+j}$$

Сдвиг (Shift $y - 1$)

$\mathbf{I} =$

	1	2	3	4
1	a	b	c	d
2	e	f	g	h
3	i	j	k	l
4	m	n	o	p

$\mathbf{I}_{y-1} =$

	1	2	3	4
4	m	n	o	p
1	a	b	c	d
2	e	f	g	h
3	i	j	k	l

$$P = \begin{pmatrix} 0 & 0 & 0 & 1 \\ 1 & 0 & 0 & 0 \\ 0 & 1 & 0 & 0 \\ 0 & 0 & 1 & 0 \end{pmatrix}$$

$$\mathbf{I}_{y-1} = \mathbf{P}\mathbf{I}$$

$$\mathbf{I}_{x-1} = \mathbf{I}\mathbf{P}$$

Сдвиг (Shift $x + 1$)

$\mathbf{I} =$

	1	2	3	4
1	a	b	c	d
2	e	f	g	h
3	i	j	k	l
4	m	n	o	p

$\mathbf{I}_{x+1} =$

	4	1	2	3
1	d	a	b	c
2	h	e	f	g
3	l	i	j	k
4	p	m	n	o

$$\mathbf{P}^T = \begin{pmatrix} 0 & 1 & 0 & 0 \\ 0 & 0 & 1 & 0 \\ 0 & 0 & 0 & 1 \\ 1 & 0 & 0 & 0 \end{pmatrix}$$

$$\mathbf{I}_{x+1} = \mathbf{I} \mathbf{P}^T$$

$$\mathbf{I}_{y+1} = \mathbf{P}^T \mathbf{I}$$

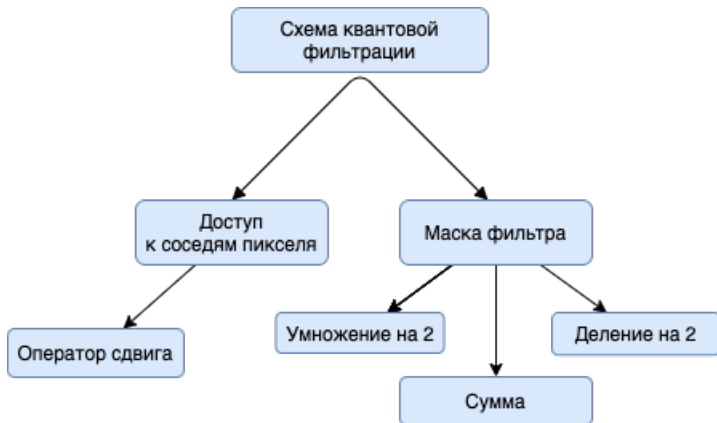
$$P = \begin{pmatrix} 0 & 0 & \dots & 1 \\ 1 & 0 & \dots & 0 \\ 0 & 1 & \dots & 0 \\ \vdots & \vdots & \ddots & \vdots \\ 0 & \dots & 1 & 0 \end{pmatrix}$$

$$W = \frac{1}{16} \begin{bmatrix} 1 & 2 & 1 \\ 2 & 4 & 2 \\ 1 & 2 & 1 \end{bmatrix}$$

$$I * W = \frac{1}{16} (4I + 2PI + 2P^T I + 2IP + 2P^T I + PIP^T + P^T IP + PIP + P^T IP^T)$$

Модули, необходимые для реализации алгоритма

$$I * W = \frac{1}{16}(4I + 2PI + 2P^T I + 2IP + 2P^T IP + PIP^T + P^T IP + PIP + P^T IP^T)$$

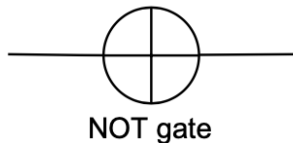


NOT Gate

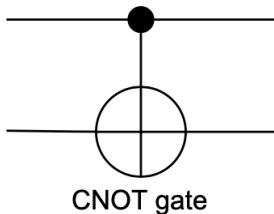
$$\text{NOT} = \begin{pmatrix} 0 & 1 \\ 1 & 0 \end{pmatrix}$$

$$\text{NOT}(|0\rangle) = \begin{pmatrix} 0 & 1 \\ 1 & 0 \end{pmatrix} \begin{pmatrix} 1 \\ 0 \end{pmatrix} = \begin{pmatrix} 0 \\ 1 \end{pmatrix} = |1\rangle$$

$$\text{NOT}(|1\rangle) = \begin{pmatrix} 0 & 1 \\ 1 & 0 \end{pmatrix} \begin{pmatrix} 0 \\ 1 \end{pmatrix} = \begin{pmatrix} 1 \\ 0 \end{pmatrix} = |0\rangle$$



CNOT



$$\text{CNOT} |00\rangle = |00\rangle$$

$$\text{CNOT} |01\rangle = |01\rangle$$

$$\text{CNOT} |10\rangle = |11\rangle$$

$$\text{CNOT} |11\rangle = |10\rangle$$

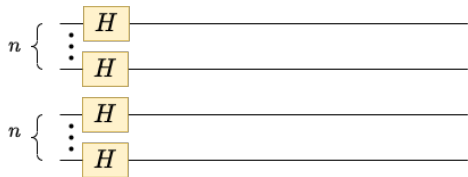
$$\text{CNOT} = \begin{pmatrix} 1 & 0 & 0 & 0 \\ 0 & 1 & 0 & 0 \\ 0 & 0 & 0 & 1 \\ 0 & 0 & 1 & 0 \end{pmatrix}$$

Гейт Адамара

$$H = \frac{1}{\sqrt{2}} \begin{pmatrix} 1 & 1 \\ 1 & -1 \end{pmatrix}$$

$$H(|0\rangle) = \frac{1}{\sqrt{2}} |0\rangle + \frac{1}{\sqrt{2}} |1\rangle$$

$$H(|1\rangle) = \frac{1}{\sqrt{2}} |0\rangle - \frac{1}{\sqrt{2}} |1\rangle$$



Квантовый алгоритм представления изображения (NEQR)

$$|I\rangle = \frac{1}{2^n} \sum_{Y=0}^{2^n-1} \sum_{X=0}^{2^n-1} |f(Y, X)\rangle |YX\rangle = \frac{1}{2^n} \sum_{Y=0}^{2^n-1} \sum_{X=0}^{2^n-1} \bigotimes_{i=0}^{q-1} |C_{YX}^i\rangle |YX\rangle,$$

$f(Y, X) = C_{YX}^0, C_{YX}^1 \dots C_{YX}^{q-2}, C_{YX}^{q-1}$, где $C_{YX}^0, C_{YX}^k \in [0, 1]$

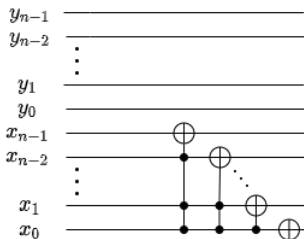
$ 00000000\rangle$ $ 00\rangle$	$ 01100100\rangle$ $ 01\rangle$
$ 11001000\rangle$ $ 10\rangle$	$ 11111111\rangle$ $ 11\rangle$

$$|I\rangle = \frac{1}{2}(|00000000\rangle |00\rangle + |01100100\rangle |01\rangle + |11001000\rangle |10\rangle + |11111111\rangle |11\rangle)$$

NEQR: a novel enhanced quantum representation of digital images/ Zhang, Yi and Lu, Kai and Gao, Yinghui and Wang, Mo. 2013 [2]

Shift

$$\left\{ \begin{array}{l} |I_{y,x+1}\rangle = P_{x+1}(|I\rangle) = \frac{1}{2^n} \sum_{y=0}^{2^n-1} \sum_{x=0}^{2^n-1} |f(y,x)\rangle |y\rangle |x+1 \bmod 2^n\rangle, \\ |I_{y,x-1}\rangle = P_{x-1}(|I\rangle) = \frac{1}{2^n} \sum_{y=0}^{2^n-1} \sum_{x=0}^{2^n-1} |f(y,x)\rangle |y\rangle |x-1 \bmod 2^n\rangle, \\ |I_{y+1,x}\rangle = P_{y+1}(|I\rangle) = \frac{1}{2^n} \sum_{y=0}^{2^n-1} \sum_{x=0}^{2^n-1} |f(y,x)\rangle |y+1 \bmod 2^n\rangle |x\rangle, \\ |I_{y-1,x}\rangle = P_{y-1}(|I\rangle) = \frac{1}{2^n} \sum_{y=0}^{2^n-1} \sum_{x=0}^{2^n-1} |f(y,x)\rangle |y-1 \bmod 2^n\rangle |x\rangle. \end{array} \right.$$



Multiplication and Division by 2

$$|x\rangle = |x_{n-1}, x_{n-2}, \dots, x_1, x_0\rangle$$

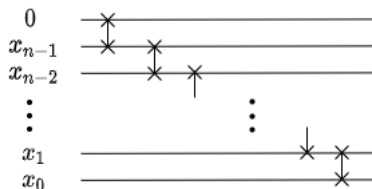
Multiply by 2

$$|2x\rangle = |x_{n-1}, x_{n-2}, \dots, x_1, x_0, 0\rangle$$

Divide by 2

$$|0.5x\rangle \approx |0, x_{n-1}, x_{n-2}, \dots, x_1\rangle$$

$$\text{SWAP } |a, b\rangle = |b, a\rangle$$



Подготовка схемы

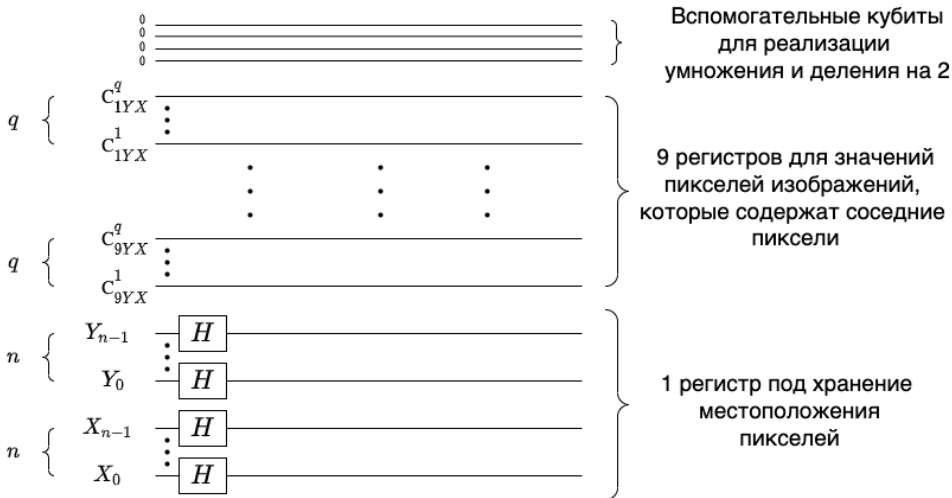
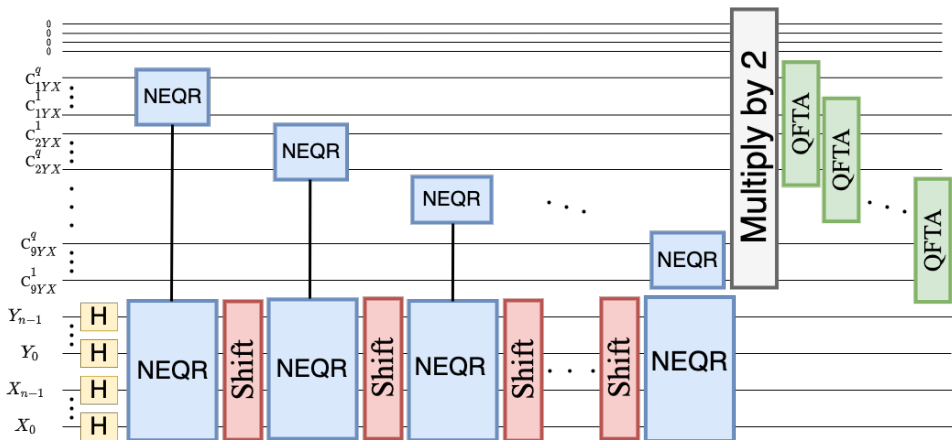


Схема алгоритма



Анализ предложенной схемы

Модуль	NEQR	QFTA	Shift	Mul/Div by 2
Сложность	$O(kqn2^{2n})$	$O(n^2)$	$O(kn^2)$	$O(kq)$

Итоговая вычислительная сложность алгоритма
(в зависимости от n — количества кубит, k — размер маски):

$$O(kqn2^{2n})$$

Итоговая вычислительная сложность алгоритма
(в зависимости от размера изображения $N \times N$):

$$O(kqN^2 \log_2 N)$$

Анализ предложенной схемы

Максимальное количество кубит, которое может потребоваться для реализации предложенной схемы:

$$2n + 9(4 + q) + 4$$




Для сравнения, максимальное количество кубит, которое может потребоваться для реализации существующего метода (Li P., Liu X., Xiao H./ Quantum Image Weighted Average Filtering in Spatial Domain. 2017.[3]):

$$20n + 10q + 1$$

Основные результаты

- Выполнен анализ литературы по теме
- Предложена квантовая схема средневзвешенной фильтрации
- Схема реализована в Python с помощью пакета для квантовых вычислений Qiskit
- Проверена работоспособность схемы на симуляторе квантового вычислительного устройства
- Выполнен анализ сложности предложенной схемы

Список литературы

-  Suzhen Yuan, Xuefeng Mao, Jing Zhou, and Wang Xiaofa.
Quantum image filtering in the spatial domain.
International Journal of Theoretical Physics, 56, 08 2017.
-  Yi Zhang, Kai Lu, Yinghui Gao, and Mo Wang.
Neqr: A novel enhanced quantum representation of digital images.
Quantum Information Processing, 12, 08 2013.
-  Panchi Li, Xiande Liu, and Hong Xiao.
Quantum image weighted average filtering in spatial domain.
International Journal of Theoretical Physics, 56:1–27, 11 2017.